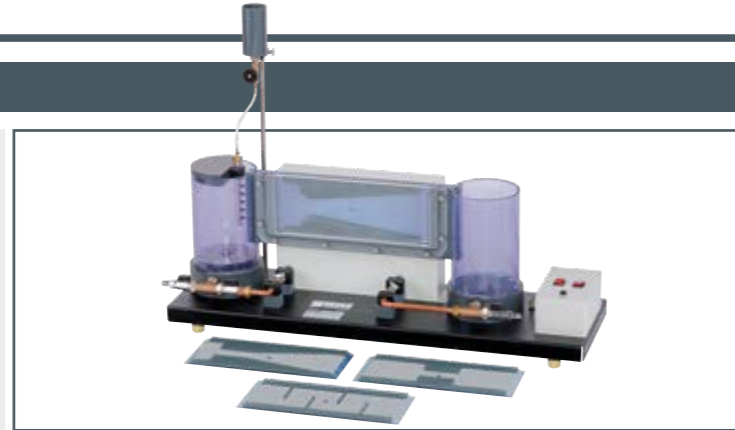


## Diversos métodos de la visualización 2D de líneas de corriente con equipos GUNT

### Con ayuda de contrastes

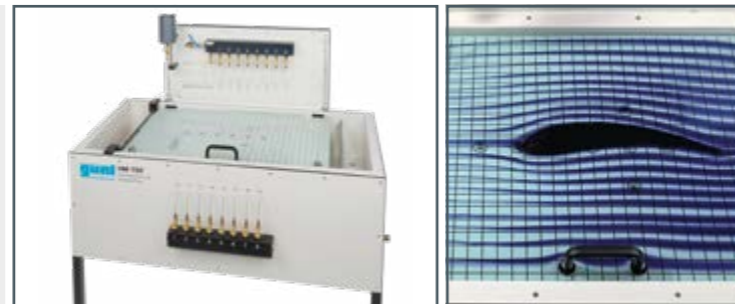
#### HM 153 Visualización de diferentes flujos

- vista óptima gracias al área de ensayos transparente iluminada
- muchos modelos intercambiables expuestos a flujos alrededores de paso o incidentes
- suministro de agua opcionalmente vía circuito de agua cerrado o conexión al suministro del laboratorio



#### HM 152 Flujo potencial

- célula Hele-Shaw con reticulación en la placa de vidrio inferior para una observación óptima de las líneas de corriente
- flujo potencial bidimensional, libre de fricción
- influencia de fuentes y sumideros en las líneas de corriente
- varios modelos: cuerpos de resistencia y modificaciones de la sección transversal



### Con ayuda de burbujas de hidrógeno generadas por procedimiento electrolítico

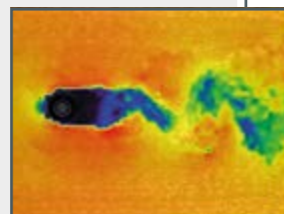
#### HM 133 Visualización de campos de flujo

- sección de ensayo iluminado para una observación óptima de las condiciones de flujo
- ensayos con una velocidad de flujo reducida para una mejor observación de los procesos de flujo
- visualización de vórtices de Karman



#### HM 132 Visualización vertical de campos de flujo

- visualización de flujos bidimensionales
- junto con una cámara especial (p.ej. PCO Pixelfly) y software apropiado (p.ej. ImageJ): evaluación de ensayos con ayuda de procesamiento de imágenes (particle image velocimetry, particle tracking velocimetry)



### Con ayuda de niebla

#### HM 226 Túnel de viento para la visualización de líneas de corriente

- campo de visión iluminado y transparente para una observación óptima de las líneas de corriente
- el campo de líneas de corriente es generado mediante inyección de niebla desde varias toberas
- generador de niebla incluido en el alcance de suministro
- varios modelos: cuerpos de resistencia y modificaciones de la sección transversal



#### HM 225 Banco de ensayos sobre aerodinámica

- visualización de líneas de corriente con los accesorios HM 225.08
- flujo homogéneo gracias a un rectificador de flujo y a un contorno de tobera formado con alta precisión
- varios modelos: cuerpos de resistencia aerodinámica y modificación de la sección transversal



#### HM 170 Túnel de viento abierto

- sección de ensayo visible por todos los lados
- el generador de niebla HM 170.52 genera una niebla muy densa que es inyectada al interior del túnel de viento por medio de una lanza
- gran selección de cuerpos de resistencia y de sustentación disponible opcionalmente

Para la demostración de fenómenos bidimensionales en flujos supersónicos, GUNT ofrece el túnel de viento supersónico HM 172.

